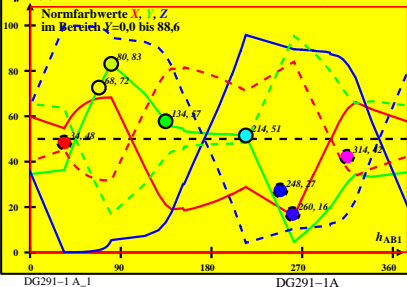
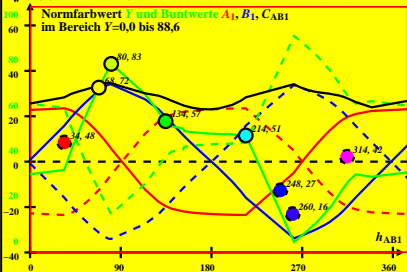


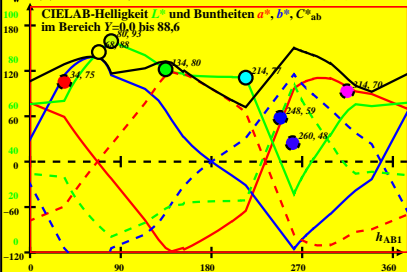
CIE-D65-Daten von -Ostwald-Farben von maximalem Buntwert C_{AB}
 $Y_w=88,6$, $Y_m=520_770$, $Bm=380_520$ und 1-Minus-Daten (---)



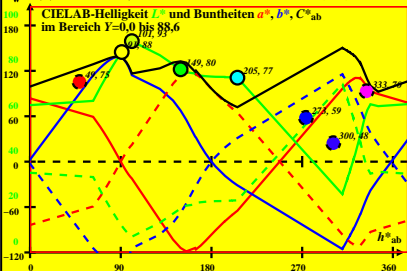
CIE-D65-Daten von -Ostwald-Farben von maximalem Buntwert C_{AB}
 $Y_w=88,6$, $Y_m=520_770$, $Bm=380_520$ und 1-Minus-Daten (---)



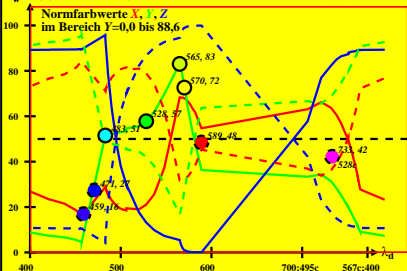
CIE-D65-Daten von -Ostwald-Farben von maximalem Buntwert C_{AB}
 $Y_w=88,6$, $Y_m=520_770$, $Bm=380_520$ und 1-Minus-Daten (--)



CIE-D65-Daten von -Ostwald-Farben von maximalem Buntwert C_{AB}
 $Y_w=88,6$, $Y_m=520_770$, $Bm=380_520$ und 1-Minus-Daten (--)



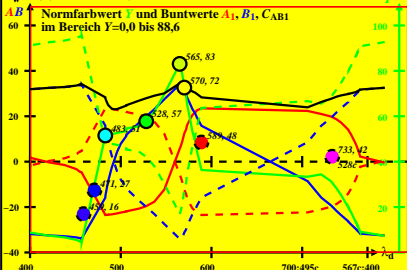
CIE-D65-Daten von -Ostwald-Farben von maximalem Buntwert C_{AB}
 $Y_w=88,6$, $Y_m=520_770$, $Bm=380_520$ und 1-Minus-Daten (---)



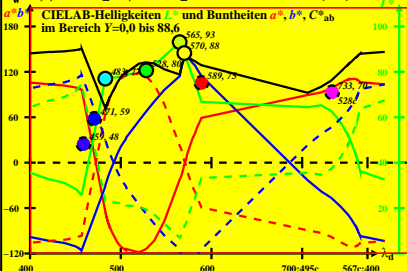
CIE-D65-Daten von -Ostwald-Farben von maximalem Buntwert C_{AB}
 $Y_w=88,6$, $Y_m=520_770$, $Bm=380_520$ und 1-Minus-Daten (---)

Y

AB Normfarbwert Y und Buntwerte A_1 , B_1 , C_{AB1}
 im Bereich $Y=0,0$ bis $88,6$



CIE-D65-Daten von -Ostwald-Farben von maximalem Buntwert C_{AB}
 $Y_w=88,6$, $Y_m=520_770$, $Bm=380_520$ und 1-Minus-Daten (—)



CIE-D65-Daten von -Ostwald-Farben von maximalem Buntwert C_{AB}
 $Y_w=88,6$, $Y_m=520_770$, $Bm=380_520$ und 1-Minus-Daten (---)

